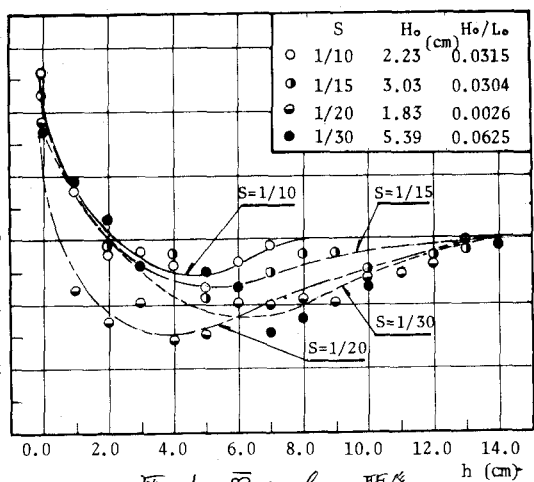


大阪大学大学院 学生員 森野豊夫
 大阪大学工学部 正員 堀木 亨
 大阪大学工学部 正員 岩田好一郎

1. 緒言： 波浪後の波には、大きな質量輸送量が伴うために、平均水位の上昇が著しく、河口近傍においては波高と平均水位の上昇量は、ほぼ同じオーダーになることが、規則波については既に実験と理論の両面より明らかにされている。一方、不規則波による平均水位変動量については、Battjes¹⁾あるいは合田²⁾により計算方法が提案されているが、水理実験の面からの論議は極めて少ないのが現状といえる。したがって、本論では不規則波による平均水位の変動特性を水理実験により明らかにし、ついで、Battjes¹⁾と合田²⁾のモデルの妥当性について若干の検討を加えた上で、その結果の一部を報告する。

2. 実験装置、実験方法および解析方法： 実験に使用した水槽は、本学にある幅0.7m、高さ0.95m、長さ30mの片面ガラス張り屋内鋼製造波水槽である。模型海深は、 $S = 1/10, 1/15, 1/20, 1/30$ の一様勾配水槽側面を用い、進波板直前に波形を整えるための整流装置として整流板を、側端には波の反射を防ぐため碎石より構成された消波装置を設けた。造波方法はホワイトノイズをバンドパスフィルターにより遮断し、それを入力としてフラップ型造波板と不規則振動せしめて発生させた方法を用い、実験ケースは各勾配について3種類、総計12種類とした。一様水深域での水深は $h = 30\text{cm}$ とし、浅海域における水位変動の測定にはステンレス鋼棒(直径3mm)を2本使用して特有に作られた電気抵抗式波高計を用い、河口を基準に水深方向/1cmの間隔で10~15地点で計測を行なった。測定した波形は全て磁気テープに収録し、これをデータ処理機によってA-D変換し、電子計算機を用いて解析を行なった。*set-up*, *set-down*は、サンプリング間隔 $\Delta t = 6/50\text{sec}$ 、データ数 $n = 400$ のデジタルな波形の時間変化量の平均値と離水位との偏差(%)をもつて表わし、この偏差値が静水位の上方に位置するこまでは*set-up*、逆のこまでは*set-down*と定義した。

3. 実験結果とその考察： 図-1は水深変化に伴う η の実験値と $S = 1/10 \sim 1/30$ の水底勾配について示したものである。図中の深水波高 H_0 は有義波高 $H_1/3$ に波数 k_1 を乗じて求め、深水波長 L_0 は入射波スペクトルのピーク周波数を用いて深水波長換算を行なったものである。図-1によれば、規則波の場合と同様に水深が減少すると、まず*set-down*が生じ、その後*set-up*が始まり、河口へ水位の上昇が認められる。図中の曲線は実験値をもとに水深変化に伴う平均水位の変化のようすを示したものであるが、不規則波においても規則波と同様、波が浅海域に進入していくと、その波動エネルギーは一旦増加し、その後減少するものと考えられる。規則波の実験においては、水底勾配が急になればなるほど*set-up*の値は一般に大きくなることが既に指摘されているが³⁾、不規則波については同様に示すようだ。実験ケースがまだ少ないため明確な傾向は見出せない。ところで、不規則波の η の算出方法としては上述の Battjes¹⁾, 合田²⁾がある。これは、まず η をあらかじめ、波群中の個々の成分波の碎波限界を求めておき、波が水深の浅い箇所まで進行して碎波限界を上回るようになれば、波が碎けてエネルギーを遮蔽

図-1 η と h の関係

新たな波高分布が形成されると言え、この波高分布からradiation stressの計算に用いる波動エネルギーとして波高的自乗平均値を採用する方法であり、Battjesは碎波限界式とて一様水深域におけるMichieの前に水底勾配による補正係数を代入した方を用いて、碎波後の波高はる水深に対する碎波限界波高を保持するものと仮定して波高的自乗平均値を求める。一方、合田は單一周期の波の碎波指標を数式化した碎波限界式を用い、碎波限界式を用いて、碎波後の波高はる水深に対する碎波限界波高を保持するものと仮定して波高的自乗平均値を求める。一方、合田は單一周期の波の碎波指標を数式化した碎波限界式を用い、碎波限界式を用いて、碎波後の波高はる水深に対する碎波限界波高を保持するものと仮定して波高的自乗平均値を求める。

たおと用いて、碎波後の波高はる水深に対する碎波限界波高を保持するものと仮定して波高的自乗平均値を求める。一方、合田は單一周期の波の碎波指標を数式化した碎波限界式を用い、碎波限界式を用いて、碎波後の波高はる水深に対する碎波限界波高を保持するものと仮定して波高的自乗平均値を求める。一方、合田は單一周期の波の碎波指標を数式化した碎波限界式を用い、碎波限界式を用いて、碎波後の波高はる水深に対する碎波限界波高を保持するものと仮定して波高的自乗平均値を求める。一方、合田は單一周期の波の碎波指標を数式化した碎波限界式を用い、碎波限界式を用いて、碎波後の波高はる水深に対する碎波限界波高を保持するものと仮定して波高的自乗平均値を求める。

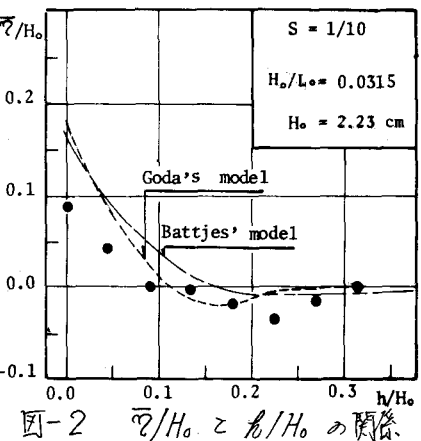


図-2 \bar{H}_s/H_o と h/H_o の関係

する。図-2で、 $S = 1/10$ の場合の実験値と Battjes の計算結果を比較した一例である。Battjes の補正係数としては $\beta = 0.8$ を用いているが、実験値は両者の計算値よりも低目であるけれども定性的には計算値と一致した結果が得られ、この傾向は他の水底勾配についても同様に認められた。しかし、Battjes の計算値については、その補正係数を各水深、勾配に対して常に $\beta = 0.8$ と固定する限り水底勾配の減少に伴って計算値との差異は大きくなることが判明し、この β の値についてはさらに検討を要する。図-3 は汀線における無次元平均水位の上昇量 \bar{H}_s/H_o (\bar{H}_s : 汀線における平均水位上昇量) と碎波波形勾配との関連性を示したものであるが、汀線における平均水位の碎波波高に対する相対上昇量は水底勾配が急になるほど、さらには碎波波形勾配が小さくなるほど若干大きくなることが認められ、この傾向は規則波についてなされた実験結果と同様であるかも程度は共通的であることが認められる。図には同時に合田による計算結果を示してあるが、実験値との差異は汀線においてはかなり大きくなっていることがわかる。図-2、3 に示すように実験値が常に計算値よりも低目にあらわれるのは、本報では省略した碎波限界式、および波動エネルギーの減衰率モデルと実験値と比較すること特に Battjes の波高分布モデルについては若干の矛盾があるもの。Battjes、合田とも波動エネルギーの減衰率については実験値と良く一致しているが、碎波限界式は著者らが実験で観測した碎波波高を過大評価しているため波動エネルギーが大きくなることより平均水位の上昇量が大きくなっているものと思われる。

以上のようなく、不規則波の場合での波高的自乗平均値の変化が求められれば平均水位の変化が再計算され、その結果を水深の補正量として波高分布の変化が再計算される。しかし、海岸域における波高分布モデルについてではなくに水理実験の面からの検討が必要であり、今後多くの実験を行なうこととに、波浪特性と平均水位変動量との定性的な関係についても海浜勾配の効果と合わせてさらに検討すべきように思われる。最後に、実験および解析に協力して頂いた本学大学院生東後志君に感謝の意を表する次第である。

参考文献

- 1) Battjes, J.A.: Set-up due to irregular waves, Proc. 13th Coastal Eng. Conf., 1972, pp. 1993-2004.
- 2) 合田良実: 海岸域における波浪の碎波变形, 港湾技術研究所報告, 第4卷 第3号, 1975, pp. 60-106.
- 3) 佐々木幹夫・佐伯 勝: 碎波後の波の变形に関する研究, 第21回海岸工学論文集, 1974, pp. 39-44.